

蓝圆鲹、鲐鱼趋光特性的电生理研究*

杨雄里 李震元

郑微云 黄玉霖

潘家模

(中国科学院上海生理研究所)

(厦门大学海洋系) (上海市水产研究所)

利用某些中上层鱼类趋光集群的特性，在夜间用灯光进行诱捕，是目前海洋捕捞中光诱捕的一项重要的技术。但应用何种颜色和强度的光源最有效？为什么在有月光、特别是满月情况下光诱效果不佳？这些问题从感觉生理的角度，可归结为对视系统光谱敏感特性（对不同颜色光的敏感度）和适应性的研究。以视系统周边和中枢神经细胞的电活动来反映视觉功能特性，易于进行精细的定量分析，是一种比较理想的指标。由于海水鱼对缺氧、离水极为敏感，一般在离水10—20秒后即趋死亡，对其视网膜电活动的研究通常以离体网膜为标本（在合适条件下，离体网膜也能在一定时间内保持基本正常的电活动），对保持正常血液循环的在位标本的研究难度较大，工作甚少，视中枢电活动的分析则至今未见报道。我们在有关单位和广大渔民的积极支持下，成功地对我国近海主要中上层趋光鱼类，蓝圆鲹 (*Décapterus maruadsi*)、鲐鱼 (*Pneu-*

matophorus japonicus) 在位标本视系统周边和中枢神经元电活动：视网膜电图 (ERG) 和中脑视顶盖诱发电位 (VEP) 进行了比较系统的分析，加深了对海水鱼视觉特性的了解，为解决上述问题提供了一些资料。

实验方法

鲹、鲐均系当年生，又长10—15厘米，鲹于1973年4月自广东惠东港口附近海面捕获，饲养于海中网箱；鲐系1973年8月从青岛港内钓获饲养于水族箱内。实验鱼用三碘季胺酚肌注麻醉，剂量1—3毫克/千克体重，每隔2—3小时续补半剂量。麻醉后立即（10秒内）使之侧卧于悬浮在海水槽表面的纱布垫上，鱼嘴中用橡皮软管通以含饱和氧的新鲜海水，海水经鳃流入水槽后重新循环，速度为200毫升/分，在这样的条件下，动物通常可在7—8小时内保持正常反应。

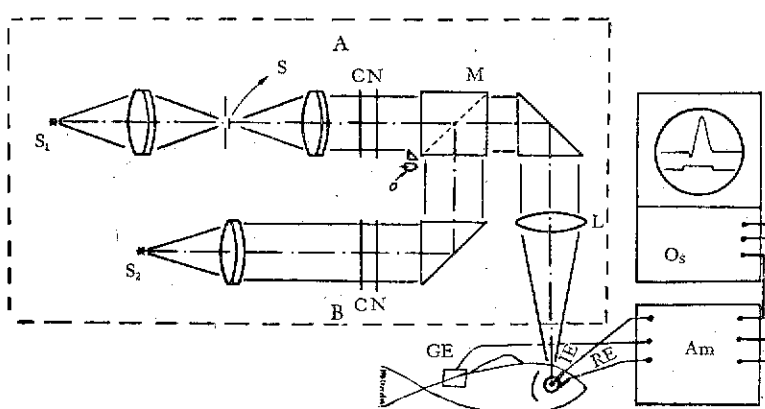


图1 光刺激、电记录装置略图

S₁、S₂——光源，A、B——光学系统，M——混光立方体，L——透镜，S——电磁快门，CN——中性滤光片，O——光导管 OCP71 (记录光刺激讯号用)。RE——记录电极，IE——参考电极，GE——接地电极，Am——前级放大器，Os——示波器，示波屏上线为ERG 波形，下线为光刺激讯号。

图1为光刺激、电活动记录装置略图。虚线框内为光刺激系统，光源经两光学系统A、B形成两平行光束，一为刺激光，刺激时间由电磁快门控制；另一为背景光。两光束经混光立方体和透镜投射于鱼眼，

* 本工作实验方法、结果的详细论述参见：杨雄里等《生物化学与生物物理学报》9卷第25—52页。在工作过程中，承广东惠东港口公社港一大队，青岛水产研究所，水族馆，山东海洋学院等单位积极支持，特此致谢。

张角 35° 。光束颜色和强度分别由干涉滤色片和中性滤光片改变。背景光在暗适应时关闭，在明适应时开启持续照射鱼眼。记录电极 RE ($\phi=0.2$ 毫米银丝) 直接和角膜接触，参考电极 IE 插入球后，鱼体由银片 GE 接地。电活动经放大器 Am 后显示于示波器 Os。

记录鯊 VETP 时，用手术小心暴露中脑视顶盖，RE 与受光照眼对侧视顶盖表面接触，IE、GE 同上。

光谱敏感曲线测定采用恒定反应法，即确定为产生一定振幅 b 波或一定峰潜伏期的 VETP 负波所需各波长光强(E_λ)¹⁾，则敏感度(S_λ -对波长 λ 的敏感度)为 E_λ 的倒数， E_λ 越大，敏感度愈低。

以下光强均以相对对数单位表示，O 相当于 4×10^3 微瓦/平方厘米(角膜水平)，-8.0 即为 4×10^{-8} 微瓦/平方厘米，余同。阈值变化也以对数表示。

实验结果

(一) ERG 的适应特性和光谱敏感性

图 2 是鯊暗视和明视 ERG 波形²⁾(鯊相似)，显示出脊椎动物混合型网膜 ERG 的特征。暗视时主要是正相 b 波，只有在高光强刺激时 a 波才出现；明视时 a 波明显，在撤光后可见正相 d 波。b 波一般认为反映网膜的兴奋性，其振幅随光强增加有规律地增大。

ERG 对缺氧极敏感，当循环海水稍有阻滞，ERG 即发生不可逆变化：b 波迅速减小终至消失。这与淡水鱼形成鲜明对照，鲫鱼 b 波在切断循环水后几十分钟，振幅仅略减小，若恢复循环水，仍可恢复到原来的敏感度。

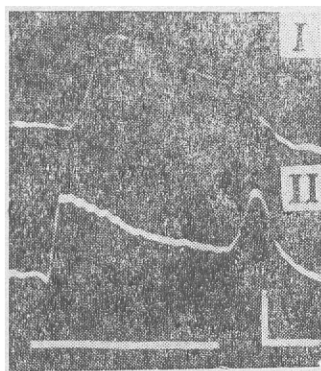


图 2 鯊暗视和明视 ERG

I. 暗视，II. 明视。波形向上为正，向下为负。暗视时仅正相 b 波，明视时，可见 a 波(b 波前小负波)、d 波(撤光后正波)。下线示光刺激讯号，右下方垂直小柱为振幅标尺 100 微伏，水平小柱为时间标尺 100 毫秒。

1. 暗适应特性：用强光照射网膜，b 波阈值(引起 50 微伏 b 波的光强)急剧升高，光敏度降低，强光熄灭后，网膜逐渐暗适应，阈值迅速降低。图 3 示鯊、鯊暗适应曲线。鯊在暗适应 40—50 分后即已恢复到

完全暗适应水平，阈值变化 6.0 对数单位。鯊的暗适应进程要缓慢得多，起初阈值迅速降低，在 10 分内可降低 3—4 对数单位，但随后即趋稳定，持续至 50—60 分，呈现平台，之后阈值继续降低，通常要在 3 小时后才接近完全暗适应水平。

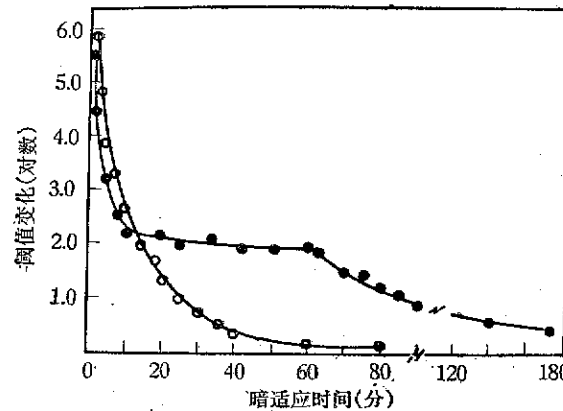


图 3 鯊、鯊暗适应曲线
横坐标：时间(分)；纵坐标：对数阈值，以暗视阈值为 0。
○—○ 鯊，●—● 鯊。注意横坐标变化。

2. 明适应特性：为了观察背景光对网膜光敏度的影响，测定了辨增阈曲线(不同背景光强下为引起 50 微伏 b 波的刺激光强)。图 4 示鯊的结果，背景光为白光，刺激光波长为 498 和 610 毫微米，两曲线在纵坐标

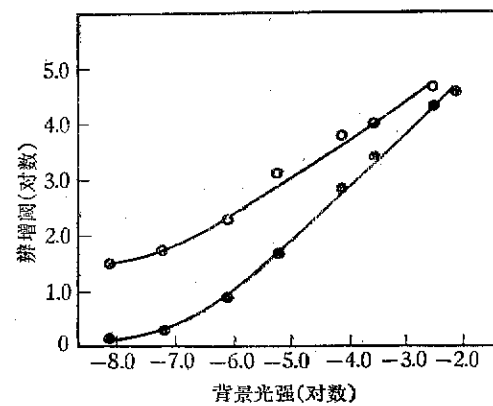


图 4 鯊辨增阈曲线
横坐标：背景光强(对数)，-6.0 相当于满月时海面下 30 米的光强水平；纵坐标：辨增阈(对数)，以 498 暗视阈值为 0。
●—● 498 毫微米，○—○ 610 毫微米。

- 1) b 波振幅在 a 波出现后从 a 波峰值算起。峰潜伏期系光刺激开始至波峰的时间。
- 2) 混合型网膜包含两种感光细胞：杆细胞和锥细胞。当网膜处于暗适应或低背景光时(暗视)，主要是杆细胞活动。当处于较高背景光时(明视)，主要是锥细胞活动。这两种感光系统的光谱敏感特性和适应特性有显著的差别。

的位置已按相对能量校正，纵坐标之差即表示阈值差。当背景光强低时，背景光的变化对辨增阈并无明显影响，如背景光强从-8.0增至-6.0（100倍），辨增阈仅增加7—10倍，但当超过-6.0后，两者就是线性关系。由于610曲线斜率要比498曲线小，因此随背景光强增加，610曲线逐渐接近498曲线，呈现交叉的趋势。鯮的情况很相似（图5），但两者的线性关系要在背景光强超过-5.0时才满足。610曲线与498曲线也渐趋交叉。

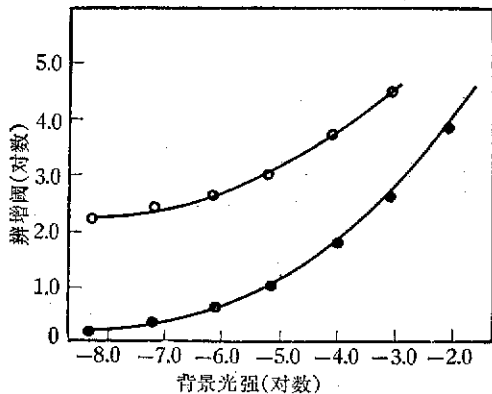


图5 鯮辨增阈曲线

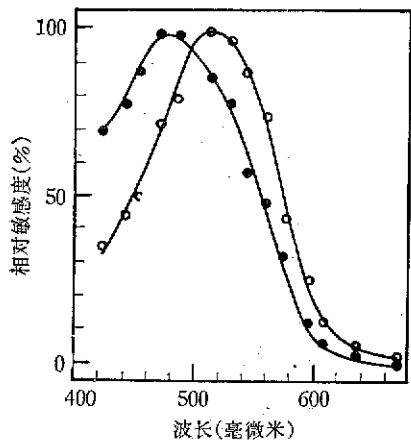


图6 豹暗视、明视光谱敏感曲线

横坐标：波长(毫微米)；纵坐标：相对敏感度以相对于峰值的百分数表示。
●—● 暗视，○—○ 明视。

3. b 波光谱敏感性：图6为豹暗视、明视光谱敏感曲线。暗视敏感峰在490毫微米，长波段敏感度降得很快， $S_{660}:S_{490}=1:100$ 。明视时峰值移至520毫微米，短波段相对敏感度下降，而长波段升高，此时 $S_{660}:S_{490}=1:30$ 。

豹暗视光谱敏感曲线峰值在480毫微米（图7），长波段敏感度相对更低， $S_{660}:S_{480}=1:1000$ 。明视时峰值移至525毫微米， $S_{660}:S_{480}=1:300$ 。

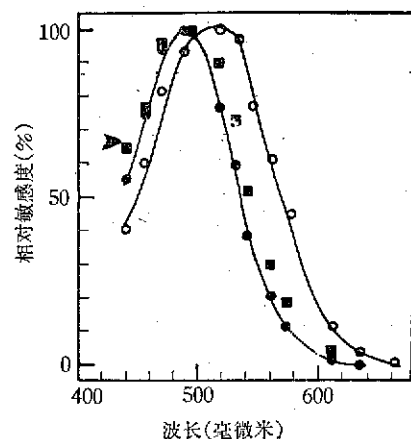


图7 鲤暗视、明视光谱敏感曲线
■ 为背景光强-3.6的结果，余同图6。

在明视时光谱敏感峰向长波段位移，表明网膜内杆细胞的活动渐为锥细胞所代替，这和ERG波形特征及组织学结果都是一致的。

(二) VETP的特性和光谱敏感性

1. 波形：光照网膜时，神经冲动沿视神经经视交叉传至对侧中脑视顶盖（即左眼至顶盖右叶），引起顶盖神经元群综合电活动（VETP）。图8是一组典型的暗视VETP。当刺激光强较低时，主要是一个表面负波P，随光强增加P、N波出现，一般认为P波系突触前视神经纤维传入冲动同步活动的结果，而负波则是顶盖神经元的活动。

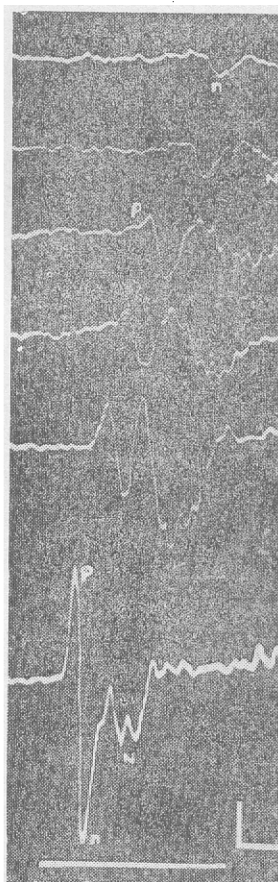


图8 典型的鲤暗视VETP
左上角数字示刺激光强，下线示光刺激讯号，振幅标尺100微伏，时间标尺50毫秒。

2. 峰潜伏期和刺激光强的关系：由于VETP各波的振幅与光强的关系比较复杂，我们改以峰潜伏期为指标。峰潜伏期随光强增加而缩短，两者关系可用下式描述： $\log(IT) = \alpha \log I + \beta$ ，其中IT为峰潜伏期，I为光强， α 、 β 为常数（图9）。明视条件下，此关系式在一定光强范

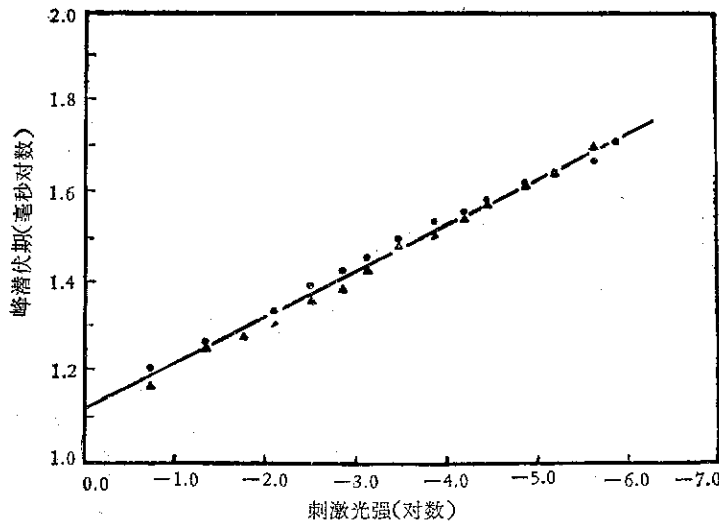


图 9 VETP 峰潜伏期和刺激光强的关系
横坐标：刺激光强(对数);纵坐标：峰潜伏期(毫秒,对数)。▲●示
两尾鱼结果,直线系按 $\log(IT) = 0.1\log(I) + 1.12$ 画出。

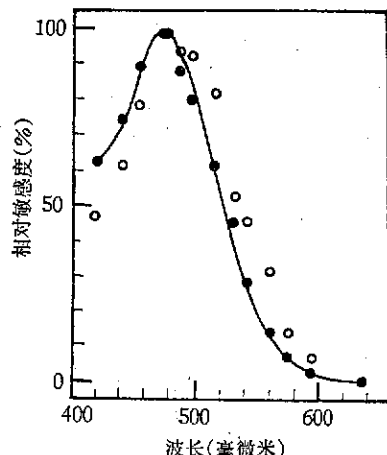


图 10 鲢 VETP 光谱敏感曲线实线
系 ERG 结果。余均同图 6。

范围内依然成立。

3. 光谱敏感性：鯥 VETP 暗视光谱敏感曲线和 ERG 结果吻合得很好(图 10)，明视时曲线有向长波段位移的趋势，但峰值未变。更高背景光强时因刺激光强限制未作测定。

讨 论

(一) 光源的颜色和强度：

因鯥、鯥 ERG 和 VETP 的暗视光谱敏感峰均在 480—490 毫微米(光谱的蓝绿部分)，而海水对蓝绿光的通透率也较高，因此不同颜色的光源，若物理强度相同，则蓝绿光源的诱鱼范围为最大，粗略的计算表明，相同强度的 669 毫微米(红)和 490 毫微米(蓝绿)光的诱鱼范围之比为 1:5。

需要注意区别几个不同的概念。诱鱼范围是指光源在水中的作用区域，在这一区域内鱼能察觉光源的存在，这是诱捕的首要条件。从原则上来说，为了对更大范围的鱼群进行诱集，光源颜色应尽量接近鱼的光谱敏感峰和海水的透光峰。集鱼范围是指鱼察觉光源后在其周围聚集的区域，这依据鱼的嗜好照度而定。建议选择蓝绿光源是对诱鱼范围而言。应用白炽灯作为水下灯有明显的缺点，因是连续光谱，鱼仅对其中一部分波段有较高敏感度，而大部分能量消耗于海水的吸收，因此诱鱼范围小，也不经济。玻泡涂有蓝绿色的白炽灯和白炽灯有同样的缺点，只不过以玻泡的吸收代替了海水对光能的选择性吸收。理想的光源应是发射光谱集中在蓝绿波段的特种灯，目前正在试用

的碘化铊铟灯(铊主峰为 5350 Å，铟主峰 4511 Å)，从诱鱼角度是一种很有前途的新光源。

在实践中经常提出鱼喜欢什么颜色的问题，这个问题很难回答。我们的初步看法是，因鯥、鯥网膜从暗视(无色觉)向明视(有色觉)功能的过渡仅在较高的亮度水平发生(比淡水鱼高几十倍)，因此除非鱼十分接近水下灯，各种波长光的作用主要表现为不同的亮度感觉，只有当我们能用实验明确无误地把光的亮度和颜色的作用区分开来，才能对这个问题作出确切的回答。

正因为这样，就需要对某些现象进行分析，例如广东、福建的渔民在下网前为使集鱼范围缩小，往往在发现鱼群后用红布把灯包起来(俗称“压火”)，但显然不能因此得出趋红光的结论，更可能的原因是因红布降低了光强，从而缩小了集鱼区。

关于光强问题不能一概而论。在诱鱼阶段，为扩大诱鱼范围，应尽可能增加光强，但到了集鱼阶段，光强太高就会使鱼群不易集中，这已为生产实践所提示。

(二) 月光下的光诱问题

月光下光诱效果不佳是一个多因子问题，其中月光作为背景光降低了视系统的光敏度，从而缩小了诱鱼范围，并使鱼群分散显然是一个重要原因。据辨增阙测定结果，当背景视野角为 35°，光敏度要比无月夜降低 6—10 倍，考虑到月光照射全视野，实际上对光敏度的影响要更大一些。为扩大诱鱼范围和提高光源作为视觉信号的作用，可增加光源强度。比较合理的方法是按照光在海水中传播、衰减的特点把现有灯光作适当配置，或采用漂流光源以扩大光场。

(三) 水上灯和水下灯

有一种意见认为，由于空气的吸收系数远较海水为小，因此水上灯能扩大诱鱼范围，这种意见值得商榷。水上灯光虽在空气中能传播较远的距离，但因海水反射，尤因反射率随入射角增大而增加，射入海中的光甚微，即使在水平方向也不能扩大诱鱼范围，在垂直方向的作用自然更不如水下灯。此外由于水上灯形成

一种背景反而降低了鱼群察觉水下灯的能力，导致鱼群分散。特别是在满月时，这种背景光叠加于月光背景更影响光诱效果。因此在诱鱼阶段可考虑灭去水上灯。

鱼类趋光特性是一个复杂的问题，用电生理方法进行研究仅是一个侧面，需要由其它方法补充和修正，并期待生产实践的检验。